

Efeitos de flutuações em amplitudes de espalhamento a altas energias

E. Basso, M. B. Gay Ducati, E. G. de Oliveira, J. T. de Santana Amaral

`andre.basso@if.ufrgs.br`

Grupo de Fenomenologia de Partículas de Altas Energias

Instituto de Física

Universidade Federal do Rio Grande do Sul

`http://www.if.ufrgs.br/gfpae`

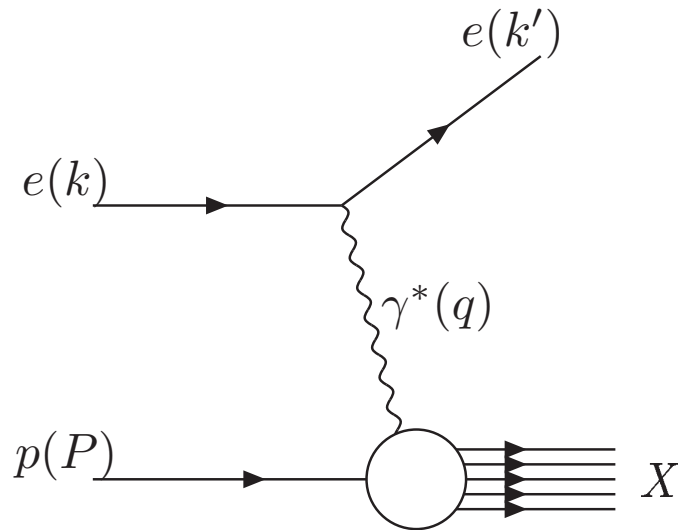
Trabalho financiado pelo CNPq

Sumário

- Espalhamento Profundamente inelástico (DIS) e a QCD em altas energias
- Formalismo de dipolos e a função de estrutura do próton
- Amplitudes de espalhamento em altas energias e o modelo AGBS
- Flutuações no número de partículas e suas consequências para a QCD em altas energias
- Resultados
- Conclusões

DIS

Variáveis cinemáticas



- Energia total ao quadrado do sistema $\gamma^* p$

$$s = (P + q)^2$$

- Virtualidade do fóton

$$q^2 = (k - k')^2 = -Q^2 < 0$$

- Variável de Bjorken

$$x \equiv x_{Bj} = \frac{Q^2}{2P \cdot q} = \frac{Q^2}{Q^2 + s}$$

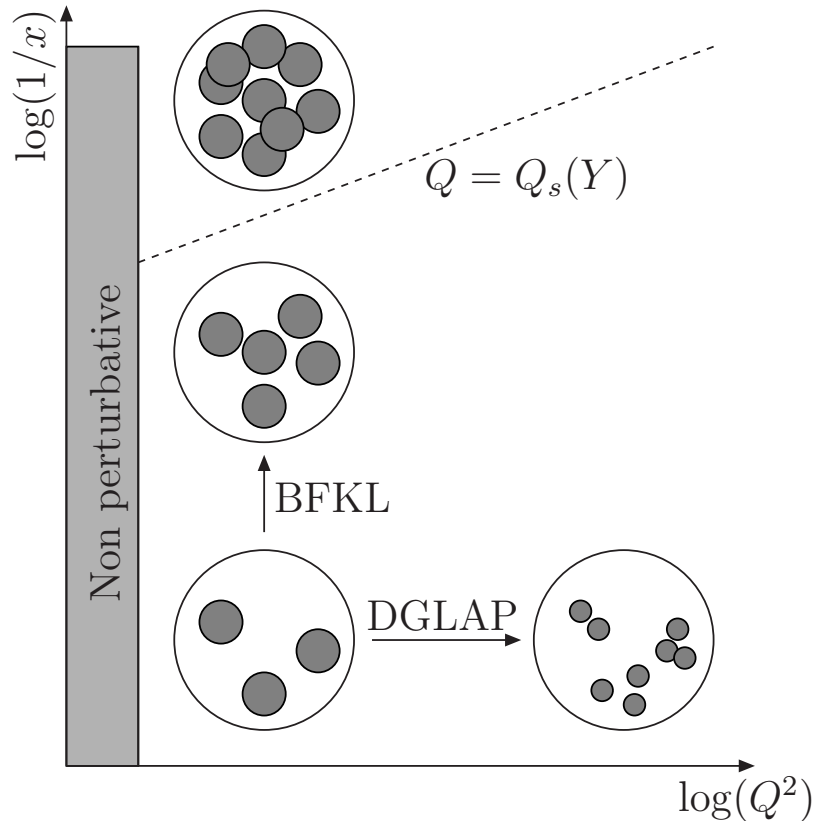
- Rapidez

$$Y \equiv \ln(1/x)$$

- Limite de altas energias:

$$s \rightarrow \infty, \quad x \approx \frac{Q^2}{s} \rightarrow 0$$

QCD em altas energias

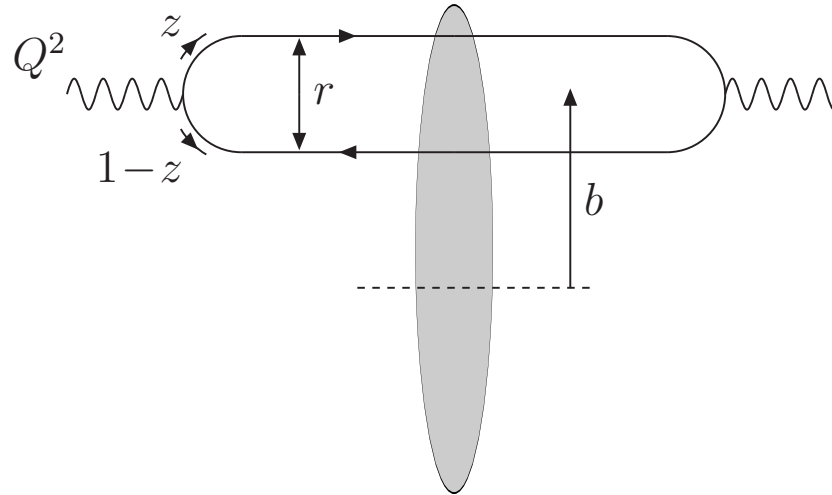


- Fenomenologia: **escalonamento geométrico** em HERA

$$\sigma^{\gamma^* p}(Q^2, Y) = \sigma^{\gamma^* p} \left(\frac{Q^2}{Q_s^2(Y)} \right)$$

- $Q_s(Y)$ é a **escala de saturação**
- Efeitos de saturação são importantes para $Q \lesssim Q_s(Y)$, Que define a chamada **saturation region**
- Nesta região a evolução é não linear, possibilitando a recombinação de glúons e evitar violações de unitariedade
 - GLR (Gribov-Levin-Ryskin)
 - AGL (Ayala-Gay Ducati-Levin)
 - BK (Balitsky-Kovchegov)
 - JIMWLK (Jalilian Marian-Iancu-McLerran-Leodinov-Kovner-Weigert)

$\sigma^{\gamma^* p}$: referencial de dipolos



- Neste referencial, o fóton virtual desdobra-se em um par $q\bar{q}$ de tamanho r , o qual interage com o alvo (próton)
- A seção de choque assume a forma fatorizada

$$\sigma_{T,L}^{\gamma^* p}(Y, Q) = \int d^2 r \int_0^1 dz |\Psi_{T,L}(r, z; Q^2)|^2 \sigma_{dip}(r, Y), \quad (1)$$

onde $\sigma_{dip}^{\gamma^* p}(Y, r)$ é a seção de choque dipolo-próton, z é a fração de momentum do fóton portada pelo quark, b é o parâmetro de impacto e $\Psi_{T,L}(r, z; Q^2)$ representa as componentes transversal e longitudinal da função de onda do fóton

A função de estrutura do próton F_2

- Assumindo independência sobre o parâmetro de impacto, a seção de choque dipolo-próton é dada por

$$\sigma_{dip}(r, Y) = 2\pi R_p^2 T(r, Y)$$

onde $T(r, Y)$ é a amplitude de espalhamento dipolo-próton e R_p é o raio do próton

- A função de estrutura do próton F_2 é relacionada com a seção de choque γ^*p através da relação

$$\begin{aligned} F_2(x, Q^2) &= \frac{Q^2}{4\pi^2 \alpha_{em}} \left[\sigma_T^{\gamma^*p}(x, Q^2) + \sigma_L^{\gamma^*p}(x, Q^2) \right] \\ &= \frac{Q^2}{4\pi^2 \alpha_{em}} \sigma^{\gamma^*p}(x, Q^2) \end{aligned} \quad (2)$$

F_2 no espaço de momentum

- É possível expressar $\gamma^* p$ em termos da amplitude de espalhamento no espaço de momentum, $\tilde{T}(k, Y)$, através da transformada de Fourier

$$\tilde{T}(k, Y) = \int_0^\infty \frac{dr}{r} J_0(kr) T(r, Y) \quad (3)$$

- Em termos de $\tilde{T}(k, Y)$, F_2 se torna

$$F_2(x, Q^2) = \frac{Q^2 R_p^2 N_c}{4\pi^2} \int_0^\infty \frac{dk}{k} \int_0^1 dz |\tilde{\Psi}(k, z; Q^2)|^2 \tilde{T}(k, Y) \quad (4)$$

onde a função de onda do fóton é agora expressa no espaço de momentum

- $\tilde{T}(k, Y)$ é solução da equação de evolução de [Balitsky-Kovchegov](#) (BK), representada no espaço de momentum por ($\bar{\alpha} = \alpha_s N_c / \pi$)

$$\partial_Y \tilde{T} = \bar{\alpha} \chi(-\partial_L) \tilde{T} - \bar{\alpha} \tilde{T}^2 \quad (5)$$

onde

$$\chi(\gamma) = 2\psi(1) - \psi(\gamma) - \psi(1 - \gamma) \quad (6)$$

é a função característica no núcleo da equação de [Balitsky-Fadin-Kuraev-Lipatov](#) (BFKL) em ordem dominante e $L = \log(k^2/k_0^2)$

Propriedades das amplitudes

- Sob as transformações $t = \bar{\alpha}Y$, $x \propto L$ e $u = \tilde{T}$, e na aproximação difusiva para $\chi(\gamma)$ a equação BK se torna equivalente a equação de Fisher-Kolmogorov-Petrovsky-Piscounov (F-KPP) para processos de reação-difusão
- Esta equação admite as chamadas *soluções de ondas viajantes*, i.e., para rapidezzes assintóticas, a amplitude $\tilde{T}(k, Y)$ adquire a forma $\tilde{T}\left(\frac{k^2}{Q_s^2(Y)}\right)$, onde $Q_s^2(Y) = k_0^2 \exp(\lambda Y)$ mede a posição da frente de onda
- A expressão para a cauda da amplitude (regime diluto) é dada por

$$\tilde{T}(k, Y) \stackrel{k \gg Q_s}{\approx} \left(\frac{k^2}{Q_s^2(Y)}\right)^{-\gamma_c} \log\left(\frac{k^2}{Q_s^2(Y)}\right) \exp\left[-\frac{\log^2(k^2/Q_s^2(Y))}{2\bar{\alpha}\chi''(\gamma_c)Y}\right] \quad (7)$$

- Na região de saturação, mostra-se que a amplitude se comporta como

$$\tilde{T}\left(\frac{k}{Q_s(Y)}, Y\right) \stackrel{k \ll Q_s}{\approx} c - \log\left(\frac{k}{Q_s(Y)}\right) \quad (8)$$

onde c é uma constante

O modelo AGBS

- Amaral-Gay Ducati-Betemps-Soyez propuzeram um modelo para $\tilde{T}(k, Y)$, que interpola analiticamente os comportamentos assintóticos para esta amplitude
- A expressão para a amplitude é unitarizada por uma eikonal *i.e.* $T_{\text{unit}} = 1 - \exp(-T_{\text{dil}})$
- A seguinte escolha resulta em bons resultados:

$$\tilde{T}(k, Y) = \left[\log \left(\frac{k}{Q_s} + \frac{Q_s}{k} \right) + 1 \right] \left(1 - e^{-T_{\text{dil}}} \right) \quad (9)$$

onde

$$T_{\text{dil}} = \exp \left[-\gamma_c \log \left(\frac{k^2}{Q_s^2(Y)} \right) - \frac{L_{\text{red}}^2 - \log^2(2)}{2\bar{\alpha}\chi''(\gamma_c)Y} \right] \quad (10)$$

e

$$L_{\text{red}} = \log \left[1 + \frac{k^2}{Q_s^2(Y)} \right] \quad \text{and} \quad Q_s^2(Y) = k_0^2 e^{\lambda Y} \quad (11)$$

- Estas equações determinam o modelo para a amplitude de espalhamento, que deve ser inserido na expressão para F_2 , a qual é fitada aos dados de HERA fornecendo bons resultados

E as flutuações?

- A hierarquia de Balitsky $\left(\mathcal{M}_{xyz} = \frac{(x-y)^2}{(x-z)^2(z-y)^2} \right)$

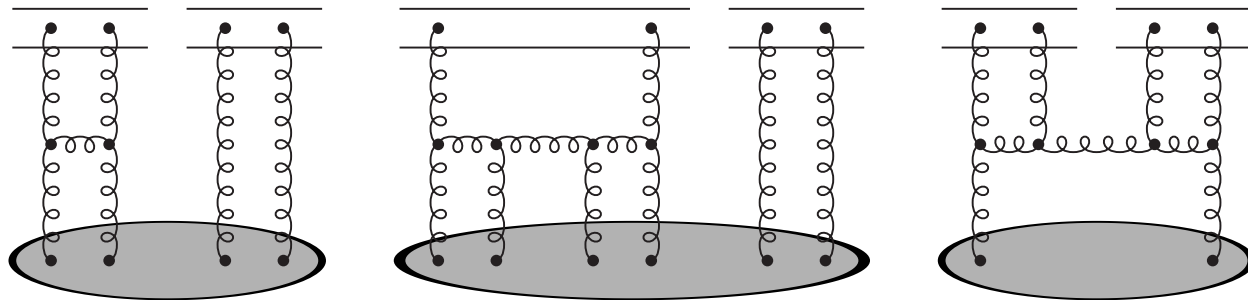
$$\partial_Y \langle T_{xy} \rangle = \frac{\bar{\alpha}}{2\pi} \int_z \mathcal{M}_{xyz} (\langle T_{xz} \rangle + \langle T_{zy} \rangle - \langle T_{xy} \rangle - \langle T_{xz} T_{zy} \rangle)$$

$$\vdots$$
(12)

- Na aproximação de campo médio, válida para alvo grande e homogêneo, vale que $\langle T_{xz} T_{zy} \rangle = \langle T_{xz} \rangle \langle T_{zy} \rangle$ e temos a equação BK

$$\partial_Y \langle T_{xy} \rangle = \frac{\bar{\alpha}}{2\pi} \int_z \mathcal{M}_{xyz} (\langle T_{xz} \rangle + \langle T_{zy} \rangle - \langle T_{xy} \rangle - \langle T_{xz} \rangle \langle T_{zy} \rangle)$$
(13)

- A hierarquia de Balitsky não leva em conta a possibilidade de múltiplos espalhamentos no projétil, ou, equivalentemente, flutuações no número de partículas (**glúons ou dipolos**) no alvo



- no diagrama para $\langle T_{\mathbf{xz}} T_{\mathbf{zy}} \rangle \equiv \langle T^2 \rangle$, identificamos
 - termo BFKL : $\partial_Y \langle T^2 \rangle \propto \langle T^2 \rangle$
 - termo de saturação (fusão de Pomerons): $\partial_Y \langle T^2 \rangle \propto \langle T^3 \rangle$
 - termo de flutuação (desdobramento de Pomerons): $\partial_Y \langle T^2 \rangle \propto \langle T \rangle$
- fusão de Pomerons + desdobramento de Pomerons = Equações de laços de Pomerons
- Aproximação: flutuações locais $\rightarrow \langle T_{\mathbf{xy}} \rangle = \kappa \alpha_s^2 |\mathbf{x} - \mathbf{y}|^4 \langle n_{\mathbf{xy}} \rangle$, com $\kappa \approx \mathcal{O}(1)$
- Fazendo a transformada de Fourier ($r = |\mathbf{x} - \mathbf{y}| \rightarrow k$) e uma aproximação para conseguir independência no parâmetro de impacto, resulta

$$\begin{aligned}
 \partial_Y \langle T_k \rangle &= \bar{\alpha} \chi (-\partial_L) \langle T_k \rangle - \langle T_{k,k} \rangle \\
 \partial_Y \langle T_{k_1, k_2}^2 \rangle &= \bar{\alpha} \chi (-\partial_{L_1}) \langle T_{k_1, k_2}^2 \rangle - \langle T_{k_1, k_1, k_2}^3 \rangle + (1 \leftrightarrow 2) \\
 &\quad + \bar{\alpha} \kappa \alpha_s^2 k_1^2 \delta(k_1^2 - k_2^2) \langle T_{k_1} \rangle \\
 &\quad \vdots
 \end{aligned}
 \tag{14}$$

onde $L_i = \log(k_i^2/k_0^2)$.

Equação de Langevin

- A hierarquia obtida pode ser escrita com uma equação de Langevin para a amplitude evento-por-evento

$$\partial_Y T(L, Y) = \bar{\alpha} \left[\chi(-\partial_L) T(L, Y) - T^2(L, Y) + \sqrt{\kappa \alpha_s^2 T(L, Y)} \eta(L, Y) \right] \quad (15)$$

onde η é um ruído branco gaussiano que satisfaz:

$$\begin{aligned} \langle \eta(L, Y) \rangle &= 0 \\ \langle \eta(L_1, Y_1) \eta(L_2, Y_2) \rangle &= \frac{4}{\bar{\alpha}} \delta(L_1 - L_2) \delta(Y_1 - Y_2) \end{aligned} \quad (16)$$

- **Equação de Langevin \equiv BK + termo de ruído**
- Na aproximação difusiva para $\chi(-\partial_L)$, esta equação se torna equivalente à equação **sFKPP \equiv FKPP + ruído**
- A cada realização do ruído (cada evento) a amplitude se comporta como onda viajante, *i.e.*, o escalonamento geométrico é preservado

Conseqüências

- Cada realização do ruído leva a uma amplitude para um único evento
- Diferentes realizações implicam em dispersão nas soluções e em $\rho_s \equiv \ln(Q_s^2/k_0^2)$
- A escala de saturação se torna uma variável randômica, com média

$$\langle Q_s^2(Y) \rangle = \exp[\lambda^* Y] \quad (17)$$

- A dispersão na posição das frentes individuais é dada por

$$\sigma^2 = \langle \rho_s^2 \rangle - \langle \rho_s \rangle^2 = D\bar{\alpha}Y \quad (18)$$

onde D é o coeficiente de difusão

- A distribuição de probabilidade de ρ_s é

$$P_Y(\rho_s) \simeq \frac{1}{\sqrt{\pi\sigma^2}} \exp \left[-\frac{(\rho_s - \langle \rho_s \rangle)^2}{\sigma^2} \right] \quad (19)$$

O escalonamento difusivo

- A cada evento \rightarrow escalonamento geométrico é preservado
- Mas a amplitude viaja com uma velocidade (expoente de saturação) menor que a prevista pela equação BK

$$\lambda^* \simeq \lambda - \frac{\pi^2 \gamma_c \chi''(\gamma_c)}{\ln(1/\alpha_s^2)}. \quad (20)$$

- A amplitude média (física) é dada por ($X \equiv \ln(1/r^2 k_0^2)$)

$$\langle T(X, \rho_s) \rangle = \int_{-\infty}^{+\infty} d\rho_s P_Y(\rho_s) T(X, \rho_s). \quad (21)$$

- **Importante!** Em energias suficientemente altas, a amplitude física não preserva o escalonamento geométrico.
- Dependências adicionais em Y via σ implicam na substituição do escalonamento geométrico pelo chamado **escalonamento difusivo**

$$\langle T(X, \rho_s) \rangle = \mathcal{T} \left(\frac{X - \langle \rho_s \rangle}{\sqrt{\bar{\alpha} D Y}} \right). \quad (22)$$

Modelo AGBS e as flutuações

- A amplitude do modelo AGBS entra como um único evento na expressão para a amplitude física ($\rho = \ln(k^2/k_0^2)$)

$$\langle T^{AGBS}(\rho, \rho_s) \rangle = \int_{-\infty}^{+\infty} d\rho_s P_Y(\rho_s) T^{AGBS}(\rho, \rho_s). \quad (23)$$

que é usada na expressão para F_2 e então ajustada aos dados de HERA (H1 e ZEUS)

- D e λ^* são conhecidos analiticamente somente no limite $\alpha_s \rightarrow 0$. Logo, são deixados livres.

Parâmetros livres: R_p , χ_c'' , k_0^2 , λ e D

Parâmetros fixos: $\gamma_c = 0.6275$ e $\bar{\alpha} = 0.2$

- Regime cinemático:

$$\begin{cases} x \leq 0.01, \\ 0.045 \leq Q^2 \leq 150 \text{ GeV}^2 \end{cases}$$

- somente quarks leves são considerados em dois casos: $m_{u,d,s} = 50 \text{ MeV}$ e $m_{u,d,s} = 140 \text{ MeV}$
- Incerteza de 5% aos dados de H1

Resultados

● $m_{u,d,s} = 50 \text{ MeV}$

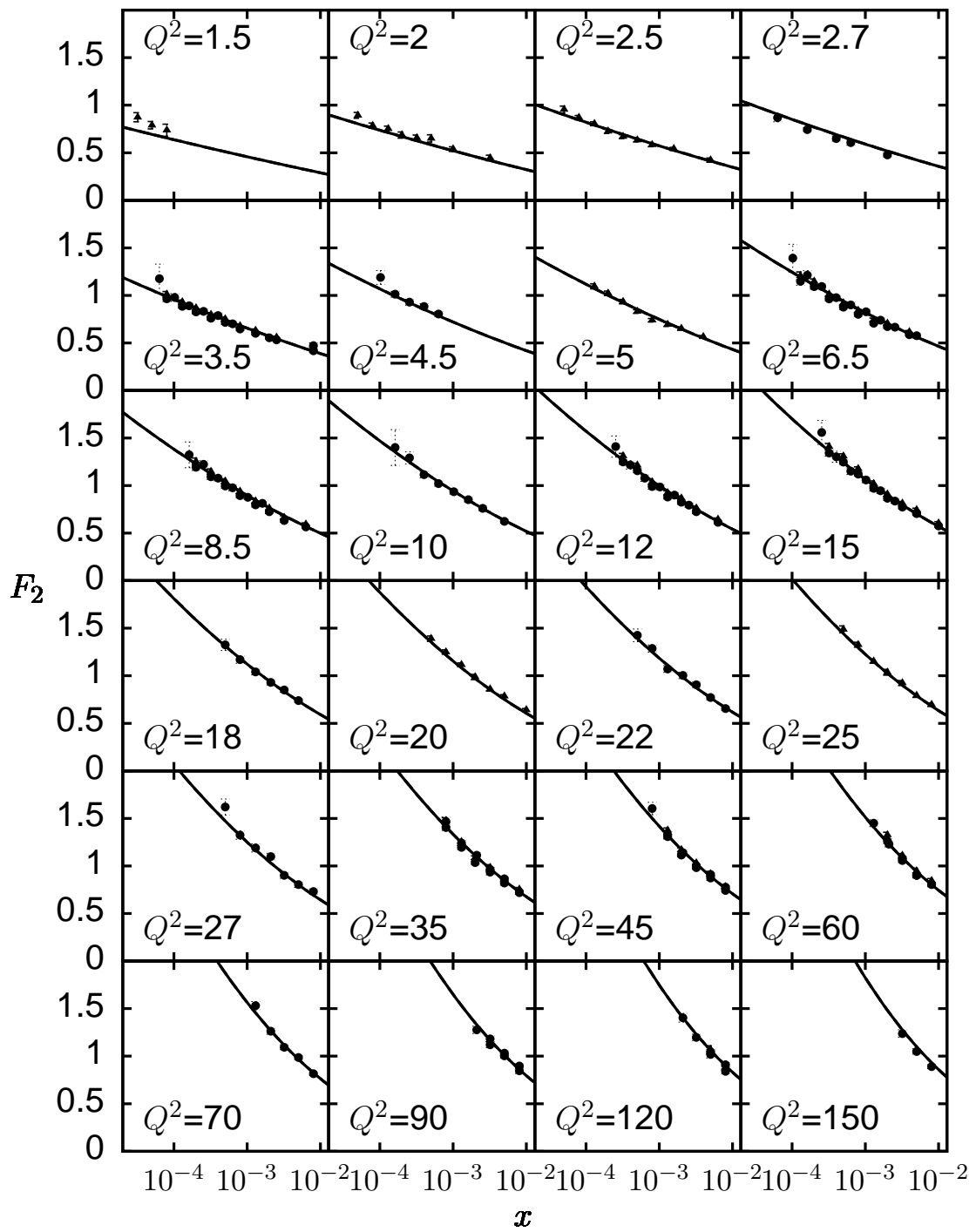
	$\chi^2/\text{n.o.p}$	$k_0^2 (\times 10^{-3})$	λ	$R(\text{GeV}^{-1})$	$\chi''(\gamma_c)$	$D (\times 10^{-2})$
$\tilde{T}_Y^{\text{AGBS}}$	0.949	3.79 ± 0.30	0.213 ± 0.003	3.576 ± 0.059	4.69 ± 0.23	0
$\langle \tilde{T}_Y^{\text{AGBS}} \rangle$	0.949	3.79 ± 0.30	0.213 ± 0.003	3.576 ± 0.059	4.69 ± 0.23	0.0 ± 1.1

● $m_{u,d,s} = 140 \text{ MeV}$

	$\chi^2/\text{n.o.p}$	$k_0^2 (\times 10^{-3})$	λ	$R(\text{GeV}^{-1})$	$\chi''(\gamma_c)$	$D (\times 10^{-3})$
$\tilde{T}_Y^{\text{AGBS}}$	0.942	1.69 ± 0.16	0.176 ± 0.004	4.83 ± 0.12	6.43 ± 0.29	0
$\langle \tilde{T}_Y^{\text{AGBS}} \rangle$	0.942	1.69 ± 0.16	0.176 ± 0.004	4.83 ± 0.12	6.43 ± 0.29	0.0 ± 9.6

● Só ZEUS com $Q^2 < 50 \text{ GeV}^2$, $m_{u,d,s} = 140 \text{ MeV}$

	$\chi^2/\text{n.o.p}$	$k_0^2 (\times 10^{-3})$	λ	$R(\text{GeV}^{-1})$	$\chi''(\gamma_c)$	D
$\tilde{T}_Y^{\text{AGBS}}$	0.778	1.97 ± 0.22	0.177 ± 0.006	4.68 ± 0.14	5.95 ± 0.94	0
$\langle \tilde{T}_Y^{\text{AGBS}} \rangle$	0.768	1.38 ± 0.12	0.120 ± 0.010	5.46 ± 0.04	5.46 ± 0.55	1.78 ± 0.38



Conclusões

- Para H1 + ZEUS, $D \rightarrow 0$:
 - AGBS \rightarrow Sem flutuações para DIS em HERA
 - Campo médio (BK), com α_s fixo é suficiente para descrever os dados
- Em maiores energias (LHC): existem flutuações?
- Acoplamento (α_s) dinâmico suprime efeitos de flutuações?